

Dados de dígitos manuscritos

No conjunto de dados de dígitos manuscritos, temos 60000 dígitos escritos a mão em imagens de dimensão 28×28 . O conjunto de dados foi separado em conjunto de treino e validação, onde 25% dos dados foi utilizado como conjunto de validação, ou seja, uma amostra de 45000 dígitos será utilizada para construir os modelos, e os dígitos restantes serão utilizados para avaliar a qualidade de ajuste dos modelos.

Em seguida os pixels foram normalizados para a escala $[0, 1]$, (equivalente a por a imagem na escala de cinza) para que alguns dos modelos utilizados convirja mais rápido.

Com os dados normalizados e separados em conjunto de treino e teste, serão construídos três modelos para realizar as predições das imagens:

- Lasso Multinomial
- Boosting
- Rede Neural Convolutacional

Modelo linear com regularização

Como o problema é diferenciar 10 dígitos utilizando 784 pixels, isso indica que o problema é de classificação com mais de duas classes. Logo, será ajustado um modelo multinomial. E como diversos pixels geralmente não são preenchidos para escrever os dígitos, é interessante realizar selecionar os pixels importantes para a classificação de cada dígito. Por isso, será ajustado um modelo Lasso Multinomial. Para a escolha do parâmetro de penalização foi gerado 100 hiper-parâmetros de penalização, e foi escolhido o melhor hiper-parâmetro através de validação cruzada utilizando apenas o conjunto de treino.

Na figura 1 é apresentado os pixels que não foram nulos para a classificação de cada dígito, com o dígito referente em verde no canto superior esquerdo de cada imagem.

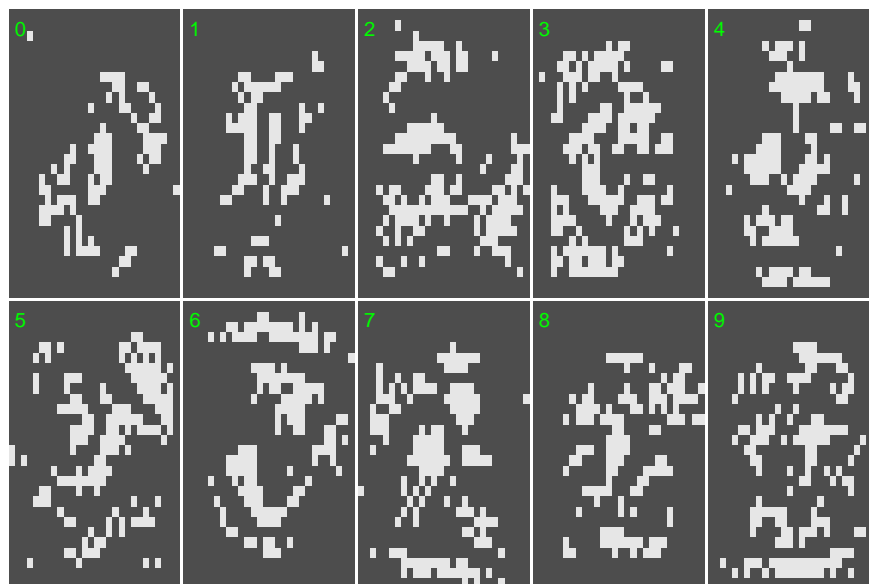


Figura 1: Pixels não nulos para cada dígito pelo modelo lasso.

Pela Figura 1, é possível ver os principais pixels para a classificação de cada dígito. Pode-se notar que a partir dos pixels não nulos, é possível desenhar o dígito que deseja-se classificar.

Modelo baseado em árvore

Existe vários tipos possíveis de modelos baseados em árvore que podem ser utilizados. Porém, para casos de classificação de imagem, mais especificamente a classificação de dígitos do MNIST, modelos de *boosting* conseguem oferecer um bom ajuste. Por conta disso, será ajustado um modelo de boosting utilizando o pacote [XGBoost](#).

Para a seleção dos hiper-parâmetros, foi ajustado 75 modelos para selecionar a taxa de aprendizagem (`eta`), a profundidade máxima da árvore (`max_depth`) e a perda mínima para criar outra partição da árvore (`min_child_weight`). Os parâmetros escolhidos foram:

- `eta`: 0.1
- `max_depth`: 6
- `min_child_weight`: 4

O número de árvores foi controlado pelo conjunto de validação, porém foi definido que o número máximo de árvores seria 500.

```
## [1] train-mlogloss:1.958892 eval-mlogloss:1.968458
## Multiple eval metrics are present. Will use eval_mlogloss for early stopping.
## Will train until eval_mlogloss hasn't improved in 5 rounds.
##
## [11] train-mlogloss:0.785277 eval-mlogloss:0.829439
## [21] train-mlogloss:0.415197 eval-mlogloss:0.472737
## [31] train-mlogloss:0.248233 eval-mlogloss:0.313767
## [41] train-mlogloss:0.163747 eval-mlogloss:0.234302
## [51] train-mlogloss:0.115883 eval-mlogloss:0.189373
## [61] train-mlogloss:0.086443 eval-mlogloss:0.161798
## [71] train-mlogloss:0.066508 eval-mlogloss:0.143448
## [81] train-mlogloss:0.052754 eval-mlogloss:0.130958
## [91] train-mlogloss:0.042125 eval-mlogloss:0.121397
## [101] train-mlogloss:0.034435 eval-mlogloss:0.114478
## [111] train-mlogloss:0.028727 eval-mlogloss:0.109501
## [121] train-mlogloss:0.024053 eval-mlogloss:0.105037
## [131] train-mlogloss:0.020432 eval-mlogloss:0.101447
## [141] train-mlogloss:0.017443 eval-mlogloss:0.098328
## [151] train-mlogloss:0.015068 eval-mlogloss:0.095521
## [161] train-mlogloss:0.013146 eval-mlogloss:0.093366
## [171] train-mlogloss:0.011537 eval-mlogloss:0.091504
## [181] train-mlogloss:0.010180 eval-mlogloss:0.089845
## [191] train-mlogloss:0.009066 eval-mlogloss:0.088509
## [201] train-mlogloss:0.008145 eval-mlogloss:0.087516
## [211] train-mlogloss:0.007360 eval-mlogloss:0.086497
## [221] train-mlogloss:0.006712 eval-mlogloss:0.085739
## [231] train-mlogloss:0.006111 eval-mlogloss:0.084994
## [241] train-mlogloss:0.005596 eval-mlogloss:0.084329
## [251] train-mlogloss:0.005183 eval-mlogloss:0.083704
## [261] train-mlogloss:0.004804 eval-mlogloss:0.083201
## [271] train-mlogloss:0.004493 eval-mlogloss:0.082794
## [281] train-mlogloss:0.004191 eval-mlogloss:0.082423
## [291] train-mlogloss:0.003931 eval-mlogloss:0.082101
## [301] train-mlogloss:0.003706 eval-mlogloss:0.081813
## [311] train-mlogloss:0.003501 eval-mlogloss:0.081561
## [321] train-mlogloss:0.003322 eval-mlogloss:0.081354
```

```

## [331]    train-mlogloss:0.003155 eval-mlogloss:0.081104
## [341]    train-mlogloss:0.003011 eval-mlogloss:0.080882
## [351]    train-mlogloss:0.002876 eval-mlogloss:0.080647
## [361]    train-mlogloss:0.002757 eval-mlogloss:0.080391
## [371]    train-mlogloss:0.002641 eval-mlogloss:0.080302
## [381]    train-mlogloss:0.002535 eval-mlogloss:0.080205
## [391]    train-mlogloss:0.002441 eval-mlogloss:0.080048
## [401]    train-mlogloss:0.002355 eval-mlogloss:0.080015
## [411]    train-mlogloss:0.002275 eval-mlogloss:0.079870
## [421]    train-mlogloss:0.002201 eval-mlogloss:0.079746
## [431]    train-mlogloss:0.002136 eval-mlogloss:0.079710
## Stopping. Best iteration:
## [428]    train-mlogloss:0.002155 eval-mlogloss:0.079702

```

Redes neurais

Para o modelo de rede neural, foi considerado uma rede neural convolucional base com acurácia 0.9897. Para a rede base, foi utilizada uma camada convolucional e uma camada escondida, todas camadas tiveram função de ativação **relu**. O otimizador utilizado foi o **Adam** com taxa de aprendizagem 0,0001.

Em seguida foi ajustado diversas redes, manipulando a quantidade de camadas intermediárias, adicionando camada de **dropout** e manipulando o otimizador ([Ruder](#) apresentou diversos otimizadores baseados em gradiente descendente). A estrutura da rede final é:

- camada convolucional com 32 filtros, janela deslizando 5×5 e ativação **relu**;
- camada de **max_pooling** de dimensão 2×2 ;
- camada de **dropout** com taxa 0.2;
- camada convolucional com 64 filtros, janela deslizando 5×5 e ativação **relu**;
- camada de **max_pooling** de dimensão 2×2 ;
- camada de **dropout** com taxa 0.2;
- camada de achatamento (**flatten**);
- camada **dense** com 512 neurônios e ativação **relu**;
- camada de **dropout** com taxa 0.2;
- a última camada é uma **dense** com ativação softmax de 10 neurônios para classificar o dígito.

O otimizador escolhido foi o **nadam** que é similar ao **adam** mas contém momento para acelerar a convergência. Foi definido que o ajuste seria parado se houvesse 5 épocas sem melhora, e o modelo foi ajustado em lotes de tamanho 64.

Comparação dos modelos

Para a comparação dos modelos será utilizado a acurácia. Na Tabela 1 é apresentado a acurácia para o conjunto de treino (Acurácia Dentro) e validação (Acurácia Fora).

Tabela 1: Acurácias dos modelos ajustados.

Modelo	Acurácia Dentro	Acurácia Fora
Multinomial Lasso	0.9200667	0.9089333
Boosting	1.0000000	0.9748000
Rede Neural Convolucional	0.9968444	0.9903333

Podemos ver pela Tabela 1 que o modelo de rede neural foi o que teve as melhores predições no conjunto de validação. Nota-se também que o modelo de Boosting predizeu perfeitamente no conjunto de treino, o que mostra que esse modelo conseguiu decorar o conjunto de treino. Porém, conseguiu predizer corretamente na maior parte no conjunto de validação.

Como o modelo de rede neural convolucional foi o que teve a maior acurácia no conjunto de validação, ele será o modelo escolhido para realizar as predições no conjunto de teste. Para apresentar um pouco das predições do modelo escolhida, na Figura 2 é apresentado a matriz de confusão do modelo no conjunto de validação.

		0	1	2	3	4	5	6	7	8	9
Predito	9	1	0	0	0	7	3	0	2	7	1459
	8	0	2	1	2	0	1	0	0	1422	3
	7	0	3	8	2	1	0	0	1586	0	6
	6	7	0	0	0	0	8	1423	0	4	0
	5	0	0	0	2	0	1301	2	0	4	5
	4	0	0	1	0	1460	1	1	2	5	6
	3	0	1	3	1519	0	3	0	1	0	1
	2	0	4	1496	3	1	0	1	3	2	0
	1	0	1698	2	0	0	2	0	7	5	1
	0	1491	0	1	0	1	2	0	0	3	1
		0	1	2	3	4	5	6	7	8	9
		Observado									

Figura 2: Matriz de confusão para o modelo de rede neural convolucional para o conjunto de dados de validação.

Pela Figura 2, não se percebe um dígito em que o modelo apresentou dificuldades de prever.

Na Figura 3 se encontram algumas predições no conjunto de validação. As predições corretas estão na cor verde, e as incorretas estão na cor vermelha com a predição correta dentro dos parênteses.

Pela Figura 3, nota-se alguns dígitos que são facilmente reconhecíveis, porém o modelo predizeu incorretamente. Mas como não se espera que um modelo consiga acertar em todo o conjunto de validação, e como ele teve uma ótima acurácia, ele será o modelo escolhido para realizar as predições no conjunto de teste.

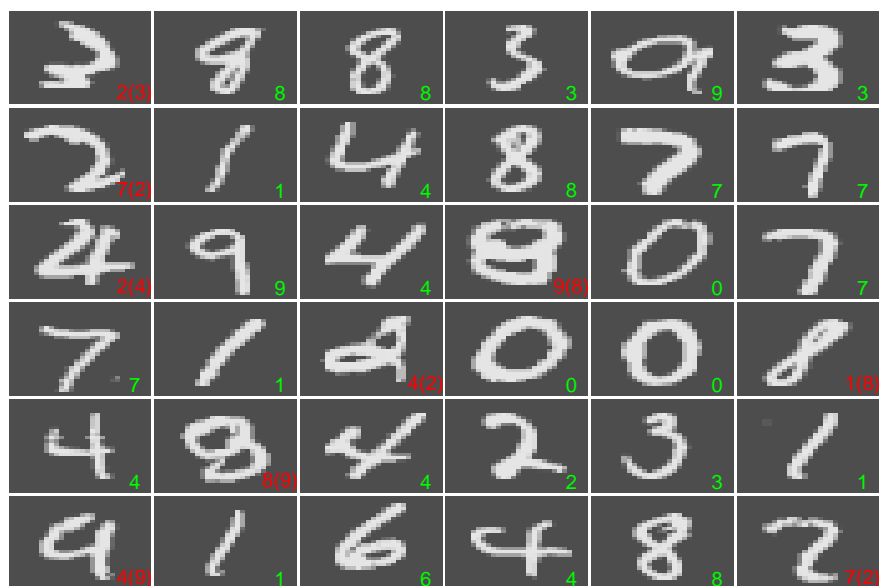


Figura 3: Amostra das classificações da rede neural para o conjunto de validação.